

# بررسی پایداری شیب‌های خاکی مسلح شده به روش Deep Patch

حسین غیاثیان، دانشیار، دانشکده عمران، دانشگاه علم و صنعت ایران، تهران، ایران

افروز صمدی کوچک سرایی<sup>\*</sup>، دانش آموخته کارشناسی ارشد، دانشکده عمران، دانشگاه علم و صنعت ایران، تهران، ایران

علی اکبر حشمتی، استادیار، دانشکده عمران، دانشگاه علم و صنعت ایران، تهران، ایران

پست الکترونیکی نویسنده مسئول: Afroozs67@yahoo.com

دریافت: ۱۳۹۳/۰۵/۲۰ - پذیرش: ۱۳۹۳/۱۱/۲۰

## چکیده

بسیاری از جاده‌ها در مناطق جنگلی در امتداد شیب تپه‌ها واقع شده‌اند. برای ساخت این جاده‌ها معمولاً از روش خاکبرداری و خاکریزی استفاده می‌کنند. نشستت یا تحکیم در خاکریزی که به اندازه کافی متراکم نشده‌است یا خرزش خاکریز پایین شیب باعث ایجاد نشست و ترک در جاده می‌گردد. روش‌های رایج برای رفع مشکلات نشست خاکریز شیب مانند ساخت دوباره، ساخت سازه‌های تکهبان و ... بسیار پرهزینه می‌باشد. روش Deep patch روشن کم هزینه است که برای افزایش پایداری این گونه شیب‌ها به کار می‌رود. در این روش قسمت بالایی از ناحیه‌ای که در آن نشستت رخ داده است را بر می‌دارند و با مواد مسلح کننده که معمولاً ژئوگرید است به همراه خاکریز متراکم پر می‌کنند. در این مطالعه از روش تعادل حدی جهت تعیین ضربی اطمینان یک سطح لغزش مسطح فرض شده در این شیب استفاده می‌گردد. در پایان نمودارهایی جهت تعیین ضربی اطمینان شیب‌های خاکی مسلح شده با ژئوستنتیک ارایه می‌گردد.

واژه‌های کلیدی: خاک مسلح ، پایداری شیب، تعادل حدی، Deep Patch

## ۱ - مقدمه

همواره در معرض رطوبت قرار داشته و نسبت به تغییرات شرایط اقلیمی حساس می‌باشد. بدین لحاظ تاسیسات بنا شده بر روی آن نیز با تغییر شرایط رطوبت دچار مشکلات عدیده‌ای می‌گردد. امروزه با افزایش حجم ترافیک و شدت بار وارد بر شبکه حمل و نقل زمینی کشور از جمله شبکه راه‌ها و راه‌آهن، نیاز به احداث راه‌های عریض و ایمن و همچنین خطوط راه‌آهن سریع‌السیر بیش از هر زمانی در کشور احساس می‌شود. ساخت آزاد راه‌ها و شبکه

خاک به عنوان یک محیط دانه‌ای طبیعی حاصل از فرسایش و دگرگونی سنگ‌ها قابلیت تحمل و انتقال نیروهای کششی را نداشته، نیروی برشی بیشتر از تاب نهایی برشی خود را تحمل نمی‌کند و در مقابل بار، تغییر شکل می‌دهد. لذا در بسیاری شرایط در اثر اعمال نیروهای مختلف طبیعی و یا ناشی از سازه‌ها دچار گسیختگی شده و یا نشست می‌کند ( توفیق روحانی، ۱۳۸۲).

همچنین به دلیل ماهیت نفوذپذیر آن و وجود آب در طبیعت،

افزایش هزینه‌های نگهداری جاده می‌شود. در بسیاری از لغزش‌های گزارش شده از شبیه‌های خاکی در مناطق کوهستانی، بارندگی یکی از عوامل اصلی گسیختگی‌ها بوده است (Rahardjo (Brand,1985), Chang, Chiu and Lin, 2007) et al, 2007) البته نقش آب و تراوش در ناپایداری هر نوع شیروانی عمدۀ می‌باشد که در مورد شبیه‌های CAF هم بالطبع این تأثیر زیاد می‌باشد. بسیاری از لغزش‌ها معمولاً زمانی رخ می‌دهند که شبیه خاکریز بسیار تن باشد یا مصالح خاکریز به خوبی متراکم نشده باشند یا خاک زیرین ضعیف باشد. انتخاب مکان مناسب برای ساخت جاده، باعث کاهش تعداد لغزش‌ها می‌گردد. روش‌هایی که امروزه برای حل مشکل خاکریزهای ناپایدار مورد استفاده قرار می‌گیرد (Keller, 2003)

- ✓ حذف مصالح لغزش
  - ✓ کاشت گیاهان بر روی شبیه (روش بیومهندسی)
  - ✓ مسطوح کردن شبیه یا ساخت دوباره آن
  - ✓ بالا یا پایین بردن سطح جاده به ترتیب برای مستحکم کردن ترانشه یا برداشتن وزن از روی لغزش
  - ✓ جایه جا کردن جاده به یک مکان پایدار
  - ✓ نصب زهکش
  - ✓ طراحی و ساخت سازه‌های نگهدارنده و مهارها (روش پایدارسازی مکانیکی)
- در آنکارا (ترکیه)، به علت افزایش سریع جمعیت و افزایش تعداد وسایل نقلیه، مسئولین تصمیم گرفتند که بزرگراه Ankara-Eskidehir که نواحی تازه ساخت شهر را به مرکز شهر متصل می‌کند را تعریض کنند. در طی عملیات تعریض بزرگراه، تعداد زیادی شبیه تن در مسیر بزرگراه شکل گرفت. در نتیجه مشکلاتی برای پایداری این شبیه‌ها ایجاد گردید. برای بررسی پایداری این شبیه‌ها، تحلیل‌هایی با استفاده از روش تعادل حدی انجام گرفت و در نهایت تصمیم گرفتند برای افزایش پایداری از شاتکریت، مش‌های سیمی، تقویت پنجه شب و محافظهای بلوکی بتی یا مهارهای محافظت در این نواحی استفاده شود (Oztekin and Topal, 2006). تحلیل و طراحی شبیه‌های تسليح شده براساس بررسی پایداری شبیه به منظور جلوگیری از ایجاد لغزش و تعیین حداقل ضریب اطمینان آن انجام می‌گردد.

راه‌آهن متناسب با حجم درخواست رو به افزایش جامعه امروزی، نیاز به گسترش و بکارگیری روش‌های نوین و فناوری روز را در این زمینه اجتناب‌ناپذیر ساخته است. بسیاری از زمین‌هایی که قبل از نظر مرغوبیت، مناسب برای امور احداث شبکه‌های ارتباطی نبوده‌اند می‌بایست بدلیل تقاضای زیاد و افزایش قیمت‌های زمین مرغوب، مجدداً مورد ارزیابی قرار گیرند. حتی ایده ساخت راه‌ها از میان دریاچه‌های کم‌عمق و مناطق باتلاقی با وجود هزینه فراوان آن امروزه مورد توجه قرار گرفته است. همچنین خاکریزهای غیرایمن باید با استفاده از روش‌های مختلف پایدار شوند. از روش خاک مسلح به طور گسترده جهت پایداری خاکریزها استفاده می‌گردد. مساله پایداری شبیه‌های خاکی یکی از مباحث بسیار مهم و اساسی در علم مکانیک خاک بوده که از دیرباز مورد توجه محققان و مولفان بسیاری قرار گرفته و موضوع بسیاری از تحقیقات و مقالات علمی بوده است. پایدارسازی خاکریز جاده‌ها با استفاده از ژئوستیک‌ها بسیار آسان‌تر و کم‌هزینه‌تر از روش‌های دیگر مانند احداث دیوارهای حائل و ... می‌باشد.

## ۲- موری بر پیشینه تحقیق

در برخی مناطق جهت تعریض جاده‌های کوهستانی که از روی شبیه می‌گذرند، مجبور به استفاده از روش CAF<sup>1</sup> هستیم. در این روش از کناره جاده خاکبرداری کرده و در سمت دیگر شبیه خاکریزی انجام می‌دهند. گاهی وجود باقیمانده گیاهان و درختان در خاکریز، ابتدا باعث افزایش مقاومت شده اما با گذشت زمان و کمپوست این مواد، خاکریز دچار نشست و ناپایداری می‌گردد. در برخی موارد نیز به علت تراکم نامناسب خاکریز، ناپایداری رخ می‌دهد. هدف از ساخت شیروانی‌ها به روش CAF (Keller and Sherar, 2003)

۱. ایجاد فضا برای ساخت یا تعریض جاده
  ۲. تعادل بین مصالح خاکبرداری و خاکریزی
  ۳. حفظ پایداری با گذشت زمان
  ۴. به حداقل رساندن هزینه‌های بلند مدت
- لغزش‌هایی که در شبیه‌های CAF رخ می‌دهد، می‌تواند منبع اصلی نشست باشد، این لغزش‌ها باعث بسته شدن جاده و

در این روش ۳ تا ۶ فوت قسمتی از خاکریز جاده که دچار نشست و ترک شده است را خاکبرداری کرده و با مصالح متراکم و یک تا چند لایه ژئوستیک پر می‌کنند، (Musser & Denning, 2005). این روش به طور موثری ریزش‌های سطحی، عملکرد ضعیف کناره‌های خاکریز و شیب‌های طبیعی با خاک ضعیف بر روی لایه خاک قوی را بهبود می‌بخشد و برای اصلاح پایداری شیروانی‌هایی که با روش CAF ساخته شده‌اند مناسب می‌باشد و در آن بخشی از قسمت بالای شیروانی توسط المان‌های تسلیح به قسمت محکم شیروانی متصل می‌شوند. هندسه شیب در این روش به این صورت است که فرض می‌شود شیب زیر جاده شامل یک ناحیه به شکل گوه شامل خاک ضعیف می‌باشد و بر روی شیب تنیدی که دارای مقاومت بیشتر از خاک گوه است، قرار دارد و گسیختگی بر روی این گوه رخ می‌دهد (شکل ۲) (Musser & Denning, 2005).

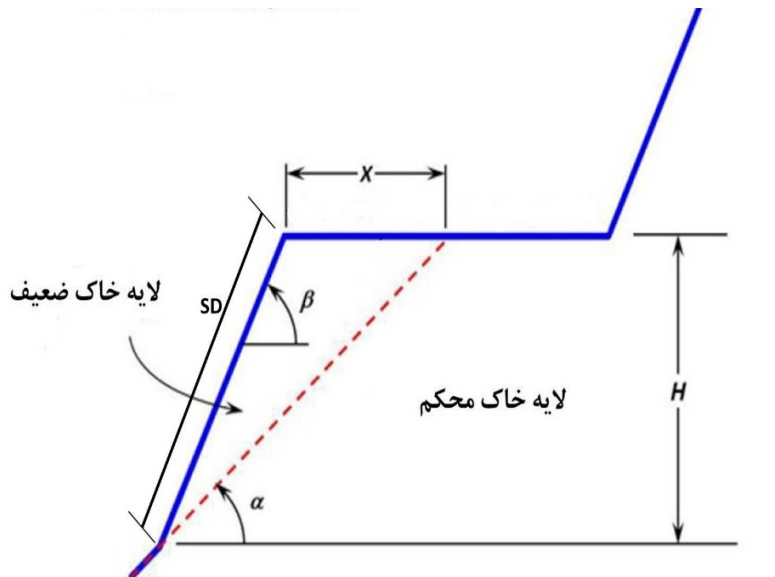
انجام این مراحل به علت تعدد مکانیزم‌های خرابی و پیچیدگی هندسی سطوح لغزش اغلب بسیار طولانی و طاقت فرساست. لذا محققان در این زمینه کوشش نموده‌اند با بررسی مکانیزم‌های اصلی خرابی در شیروانی‌های تسلیح شده، حاصل از تجربیات اجرایی و تحقیقات آزمایشگاهی، روش‌های تحلیل و طراحی سهل‌تری را ارایه نمایند. در این روش‌ها براساس مشخصات هندسی و ژئوتکنیکی خاکریزها و همچنین مشخصات ژئوگرید مصرفی، طول، تعداد و فاصله مناسب شبکه‌های ژئوگرید جهت نصب در خاکریزها طراحی می‌گردد. در برخی از روش‌های پیشنهادی مانند روش اشمرتمن<sup>۱</sup> تاثیر فشار منفذی آب بر روند طراحی خاکریز درنظر گرفته نشده‌است، در حالی که در برخی دیگر از روش‌ها، نظری روش ماری، ژوول<sup>۲</sup> و اشیدر و هولتز<sup>۳</sup>، اثر فشار منفذی آب در خاکریز مدنظر قرار گرفته است (شفابخش، ۱۳۸۴).

### -۳- روش Deep Patch

روش Deep patch روشی ساده براساس مفهوم تعادل حدی برای کاهش نشست و گسیختگی‌های سطحی می‌باشد.



شکل ۱. ترک‌های ایجاد شده بر روی جاده (Musser & Denning, 2005)



شکل ۲. هندسه شیب در روش Deep Patch (Musser & Denning, 2005)

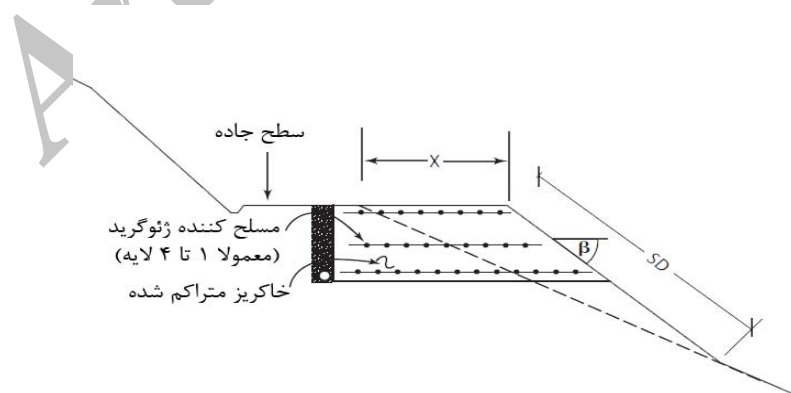
در شکل ۳ نیز مقطعی از شیب مسلح شده به روش Deep Patch نشان داده شده است. در این روش، سطح لغزش به صورت مسطح درنظر گرفته شده است و نمودارهای طراحی براساس ضریب اطمینان  $1/2$  ارایه شده است. نمودارهایی که در این تحقیق ارایه می‌گردند در جهت تکمیل نمودارهای Deep Patch می‌باشند.

X: فاصله لبه خاکریز تا نقطه‌ای که در آن خاکریز جاده از خاکبرداری به خاکریزی تغییر می‌کند.

$\beta$ : زاویه خاکریز با افق

$\alpha$ : زاویه شیب اولیه

SD: فاصله شیب از لبه خاکریز تا نقطه پایین گوه گسیختگی



شکل ۳. مقطع شیب مسلح شده به روش Deep Patch (Musser & Denning)

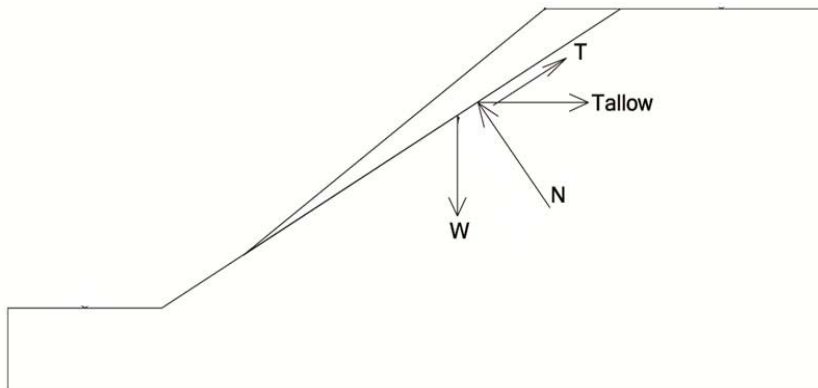
## ۴- رابطه ضریب اطمینان

در فرمول‌های تعادل حدی فرض می‌شود که:

✓ خاک رفتار موهر - کولمب دارد.

✓ ضریب اطمینان بخشنده مقاومت و بخشن اصطکاکی مقاومت برای تمام خاک‌های مورد بحث برابر است.

در مهندسی ژئوتکنیک تعریف‌های مختلفی برای ضریب اطمینان ارایه می‌شود. در مسائل پایداری معمولاً نسبت مقاومت برخی خاک در هر نقطه، به تنش برخی ایجاد شده برای تعادل، تعریف عامی است که مورد قبول واقع شده‌است. با توجه به اینکه نوع گسیختگی در شیروانی‌های CAF غالباً به صورت لغزش صفحه‌ای در راستای مرز لایه خاکریز و بستر بکر اولیه می‌باشد، حل مسئله به صورت معین امکان‌پذیر بوده و می‌توان



شکل ۴. نیروهای وارد بر سطح لغزش

به علت معین بودن سطح گسیختگی، مولقه نیروی مسلح‌کننده، هم در صورت و هم در مخرج رابطه ضریب اطمینان وارد می‌شود.

$$T_{\text{mobilized(Soil)}} = W \sin \alpha - T_{\text{mobilized(Geogrid)}} \cos \alpha \quad (1)$$

$$\Rightarrow T_{\text{mobilized(Soil)}} = W \sin \alpha - \frac{T_{\text{allow(Geogrid)}}}{F.S} \cos \alpha \quad (2)$$

$$N = W \cos \alpha + T_{\text{mobilized(Geogrid)}} \sin \alpha \quad (3)$$

$$N_{\text{ultimate}} = W \cos \alpha + T_{\text{allow(Geogrid)}} \sin \alpha \quad (4)$$

SD: فاصله شیب از لبه خاکریز تا نقطه پایین گوه گسیختگی  
(m)

در نتیجه رابطه ضرب اطمینان براساس پارامترهای بدون بعد تعريف شده در بالا به صورت زیر نوشته می شود:

$$F.S = \frac{\tan \phi}{\tan \alpha} + \frac{2\zeta \tan \phi}{\sin \beta} + \frac{4\zeta}{\sin \beta \tan \alpha} + \frac{2m}{\sin^2 \alpha} \quad (10)$$

$$A = \frac{\tan \phi}{\tan \alpha} + \frac{2\zeta \tan \phi}{\sin \beta} + \frac{4\zeta}{\sin \beta \tan \alpha} \quad (11)$$

$$B = \frac{2m}{\sin^2 \alpha} \quad (12)$$

$$F.S = A + B \quad (13)$$

براساس این فرمول نمودارهای طراحی برای مقادیر مختلف پارامترها رسم می گردد.

## ۵- اعتبارسنجی فرمول

برای اعتبارسنجی فرمول‌ها رابطه ضرب اطمینان با روابط A (Duncan and Wright, 2005) (B) روش A، نیروهای مسلح کننده‌ای که در تحلیل به کار می‌رود در حالت سرویس بوده و بر ضرب اطمینان به دست آمده در تحلیل پایداری شیب تقسیم نمی‌شود. فقط مقاومت خاک بر ضرب اطمینان محاسبه شده در تحلیل پایداری شیب تقسیم می‌شود. در روش B، نیروهای به کار رفته در تحلیل در حالت مجاز قرار دارند و هم نیروی مسلح کننده و هم مقاومت خاک بر ضرب اطمینان به دست آمده در تحلیل پایداری شیب تقسیم می‌شود. در روش A (B) اندرکنش مسلح کننده و خاک در نظر گرفته نشده است. در نتیجه رابطه ضرب اطمینان روش A (B) برای شیب مورد نظر به صورت زیر نوشته می‌شود:

$$F.S = \frac{\tan \phi}{\tan \alpha} + \frac{2c}{\gamma X \sin^2 \alpha} + \frac{T_{allow(Geogrid)} \cos \alpha}{0.5\gamma X \cdot (SD) \cdot \sin \beta \sin \alpha} \quad (15)$$

(5)

$$F.S = \frac{T_{ultimate(soil)}}{T_{mobilized(soil)}} = \frac{N_{ultimate} \tan \phi + cL + T_{allow(geogrid)} \cos \alpha}{W \sin \alpha - \frac{T_{allow(geogrid)} \cos \alpha}{F.S}}$$

$$= \frac{(W \cos \alpha + T_{allow(geogrid)} \sin \alpha) \tan \phi + cL + T_{allow(geogrid)} \cos \alpha}{W \sin \alpha - \frac{T_{allow(geogrid)} \cos \alpha}{F.S}}$$

با مرتب کردن رابطه بالا، رابطه ضرب اطمینان به صورت زیر نوشته می‌شود:

$$F.S = \frac{W \cos \alpha + T_{allow(geogrid)} \sin \alpha}{W \sin \alpha} \tan \phi + \frac{cL}{W \sin \alpha} + \frac{2T_{allow(geogrid)} \cos \alpha}{W \sin \alpha} \quad (6)$$

$$F.S = \frac{(0.5\gamma X \cdot (SD) \cdot \sin \beta \cos \alpha) + T_{allow(Geogrid)} \sin \alpha}{0.5\gamma X \cdot (SD) \cdot \sin \beta \sin \alpha} \tan \phi + \frac{2c}{\gamma X \sin^2 \alpha} + \frac{2 \cdot T_{allow(geogrid)} \cos \alpha}{0.5\gamma X \cdot (SD) \cdot \sin \beta \sin \alpha}$$

برای رسم نمودارها، پارامترهای بدون بعد به صورت زیر تعريف می‌شود:

$$m = \frac{c}{\gamma X} \quad (7)$$

m : پارامتر بدون بعد چسبندگی

c : چسبندگی خاکریز (KN/m<sup>2</sup>)

X: فاصله لبه خاکریز تا نقطه‌ای که در آن خاکریز جاده از خاکبرداری به خاکریزی تغییر می‌کند. (m)

$$\xi = \frac{T_{allow}}{\gamma X \cdot (SD)} \quad (8)$$

$\xi$  : پارامتر بدون بعد مسلح کننده

T<sub>allow</sub> : نیروی مجاز مسلح کننده (KN/m)

$\gamma$  : وزن مخصوص خاکریز (KN/m<sup>3</sup>)

X: فاصله لبه خاکریز تا نقطه‌ای که در آن خاکریز جاده از خاکبرداری به خاکریزی تغییر می‌کند. (m)

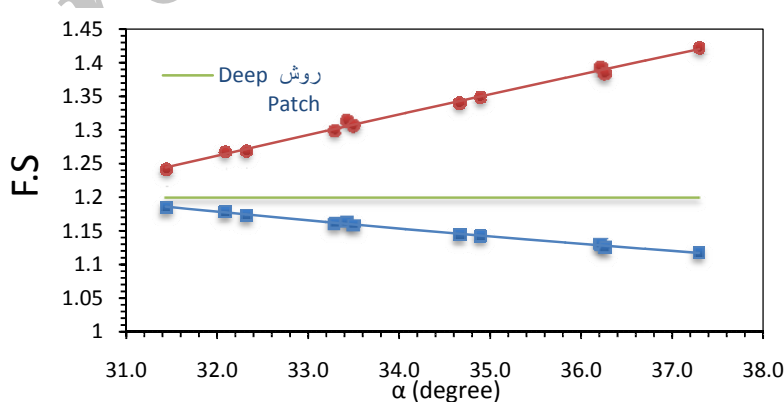
.Denning,2005)

در شکل زیر مقادیر ضریب اطمینان به دست آمده از روش های مختلف با هم مقایسه می شوند. در این شکل ها برآزشی از ضرایب اطمینان به دست آمده از هر روش انجام شده است.

در جدول زیر، تعدادی شیب با هندسه و مشخصات متفاوت به همراه ضریب اطمینان این شیب ها که از ۳ روش بحث شده به دست آمده، آورده و نتایج مقایسه شده اند تا دقیق روش پیشنهادی Deep Patch مورد ارزیابی قرار گیرد. ضریب اطمینان نمودارهای Musser & (Musser & ۱/۲ می باشد

جدول ۱. ضریب اطمینان شیب با هندسه های متفاوت با استفاده از روش A (B) و روش دقیق (زاویه اصطکاک ۳۵ درجه)

شماره شیب	$\square$ (lb/ft <sup>3</sup> )	X (ft)	SD (ft)	$\varphi$ (degree)	$\beta$ (degree)	$\alpha$ (degree)	T <sub>allow</sub> (lb/ ft)	ضریب اطمینان روشن دقیق	ضریب اطمینان روشن A یا B
۱	۱۱۴/۷	۳	۳۶/۷	۳۵	۳۹	۳۶/۲	۵۰۰	۱/۳۹۳	۱/۱۳۰
۲	۱۱۴/۷	۶	۳۴/۰	۳۵	۳۹	۳۳/۴	۵۰۰	۱/۳۱۴	۱/۱۶۴
۳	۱۱۴/۷	۹	۳۹/۷	۳۵	۳۹	۳۲/۱	۵۰۰	۱/۲۶۸	۱/۱۷۹
۴	۱۱۴/۷	۱۲	۴۷/۶	۳۵	۳۹	۳۱/۴	۵۰۰	۱/۲۴۲	۱/۱۸۵
۵	۱۱۴/۷	۳	۶۱/۱	۳۵	۳۹	۳۷/۳	۱۰۰۰	۱/۴۲۳	۱/۱۱۸
۶	۱۱۴/۷	۶	۴۷/۸	۳۵	۳۹	۳۴/۹	۱۰۰۰	۱/۳۴۹	۱/۱۴۳
۷	۱۱۴/۷	۹	۴۹/۶	۳۵	۳۹	۳۳/۳	۱۰۰۰	۱/۲۹۹	۱/۱۶۱
۸	۱۱۴/۷	۱۲	۵۵/۱	۳۵	۳۹	۳۲/۳	۱۰۰۰	۱/۲۶۹	۱/۱۷۳
۹	۱۱۴/۷	۶	۷۴/۰	۳۵	۳۹	۳۶/۳	۲۰۰۰	۱/۳۸۳	۱/۱۲۵
۱۰	۱۱۴/۷	۹	۷۷/۶	۳۵	۳۹	۳۴/۷	۲۰۰۰	۱/۳۴۰	۱/۱۴۵
۱۱	۱۱۴/۷	۱۲	۶۹/۰	۳۵	۳۹	۳۳/۵	۲۰۰۰	۱/۳۰۷	۱/۱۵۹

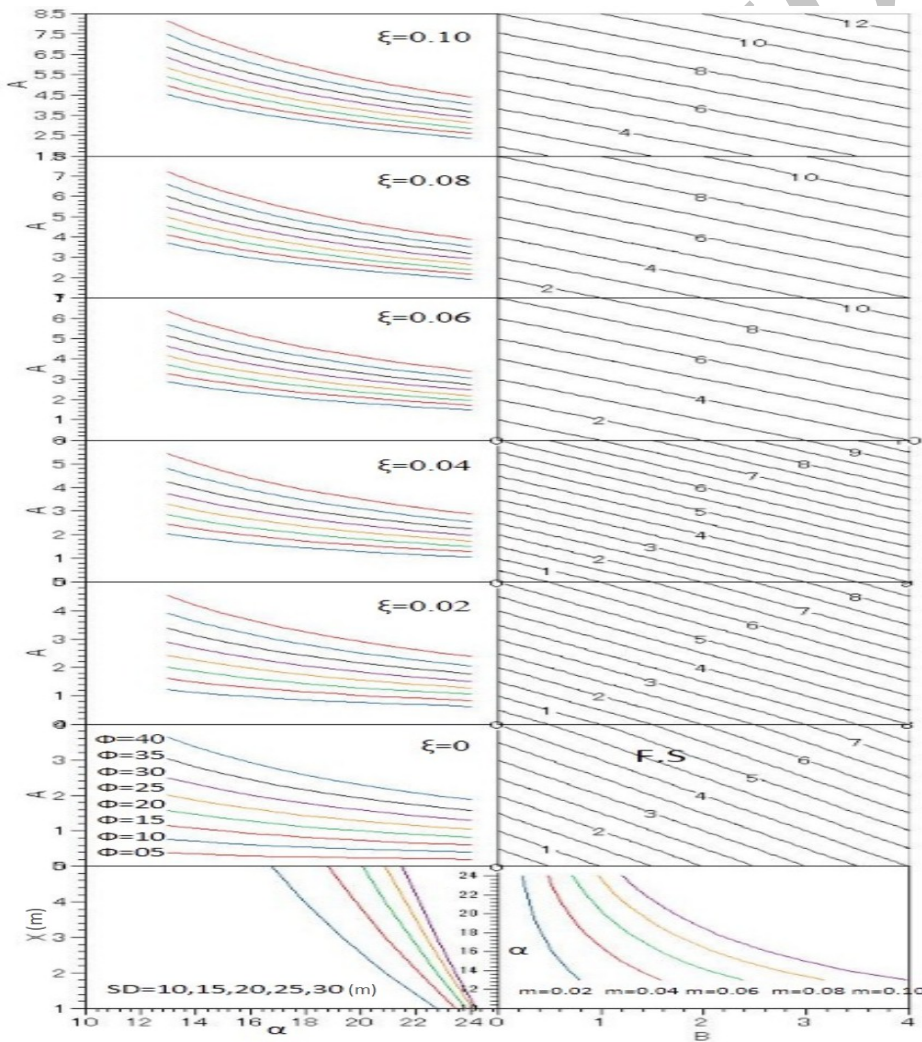


شکل ۵. مقایسه ضریب اطمینان به دست آمده از روش های مختلف (زاویه اصطکاک ۳۵ درجه)

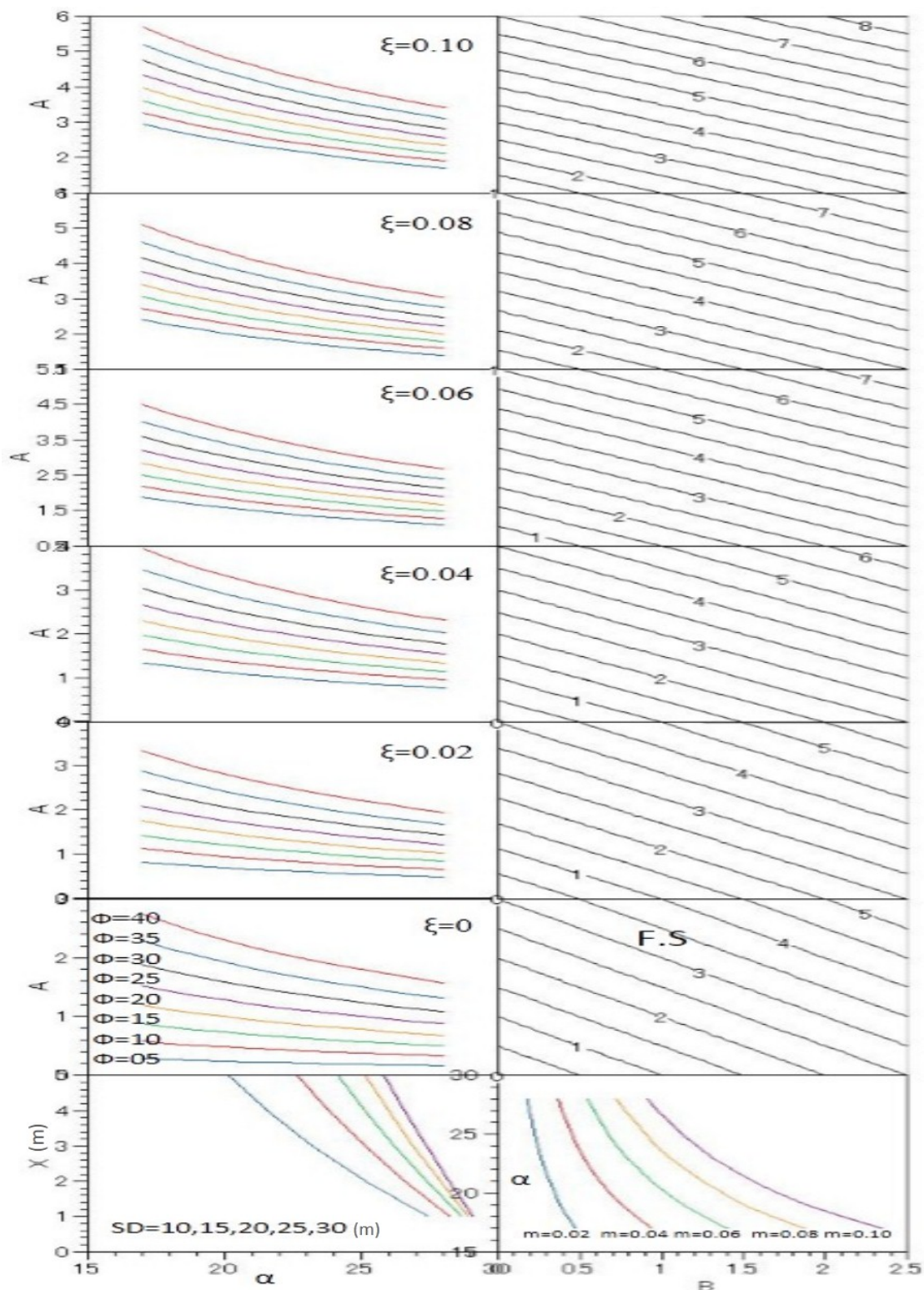
## ۶- نمودارهای طراحی

برای تعیین اثرات مسلح کننده، زاویه شبیب، مشخصات خاکریز بر مقدار ضریب اطمینان، تحلیل‌هایی انجام شده که در آن‌ها هدف، تعیین ضریب اطمینان شیروانی مسلح شده به روش Deep patch می‌باشد. البته برای رسیدن به ضریب اطمینان مورد نظر هم می‌توان مقدار نیروی مجاز مسلح کننده را به دست آورد. نتایج تحلیل‌های انجام شده در شکل‌های (۶) تا (۹) ارایه شده‌است.

همان‌طور که در شکل بالا مشاهده می‌شود، ضریب اطمینان به دست آمده از روش (A) و روش Deep Patch کمتر از مقادیر به دست آمده از روش دقیق می‌باشد، بنابراین روش‌های (A) و Deep Patch محافظه کارانه می‌باشد. در روش دقیق، روش Deep Patch به علت در نظر گرفتن اندرکنش خاک و مسلح کننده، ضریب اطمینان بالاتری نسبت به روش‌های دیگر به دست آمد. بنابراین می‌توان گفت روش دقیق، اقتصادی‌تر می‌باشد. برای مقادیر کم زاویه  $\alpha$ ، اختلاف سه روش به حداقل می‌رسد.

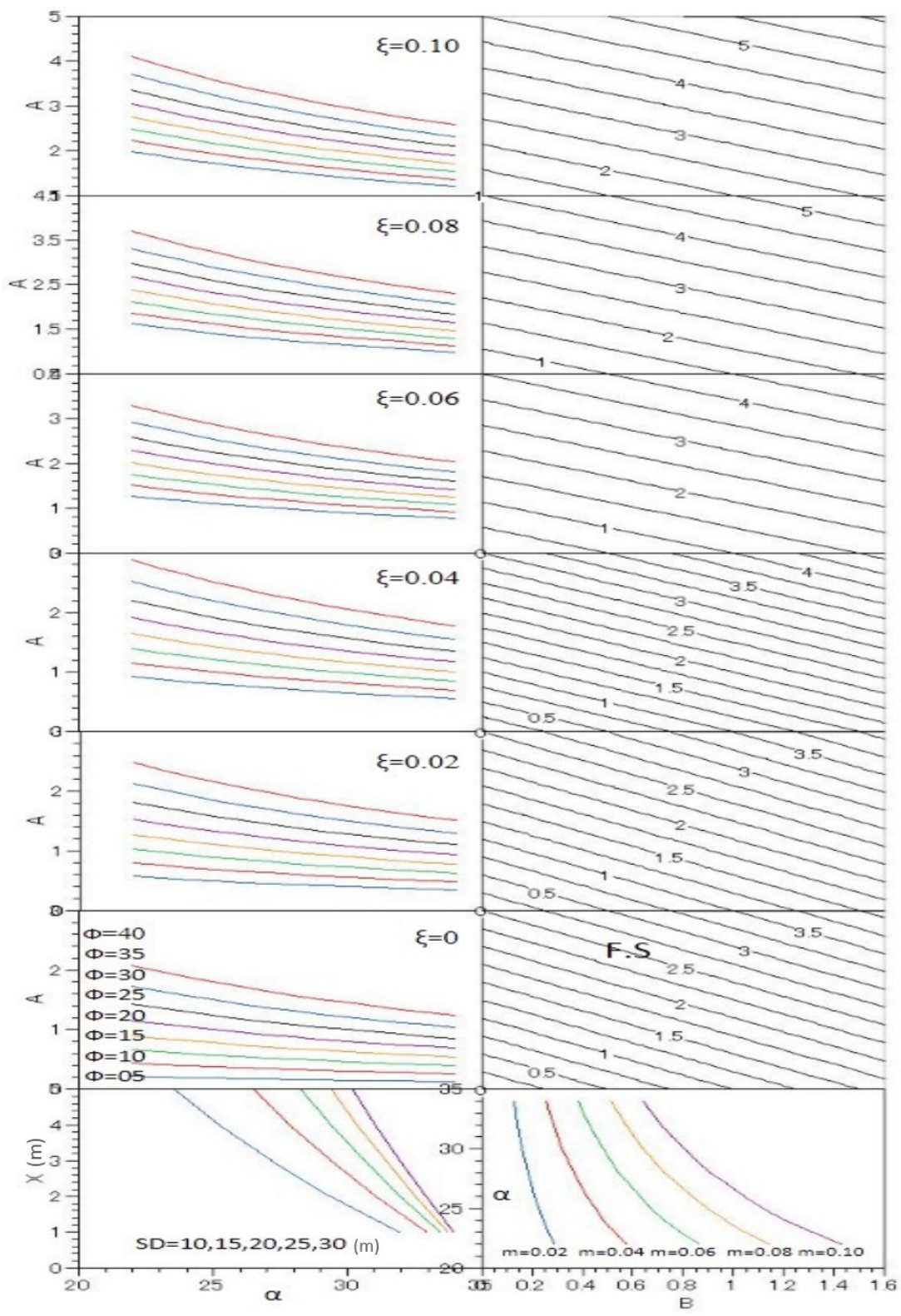


شکل ۶. نمودار طراحی برای  $\beta = ۲۵$  و  $\alpha = ۰$



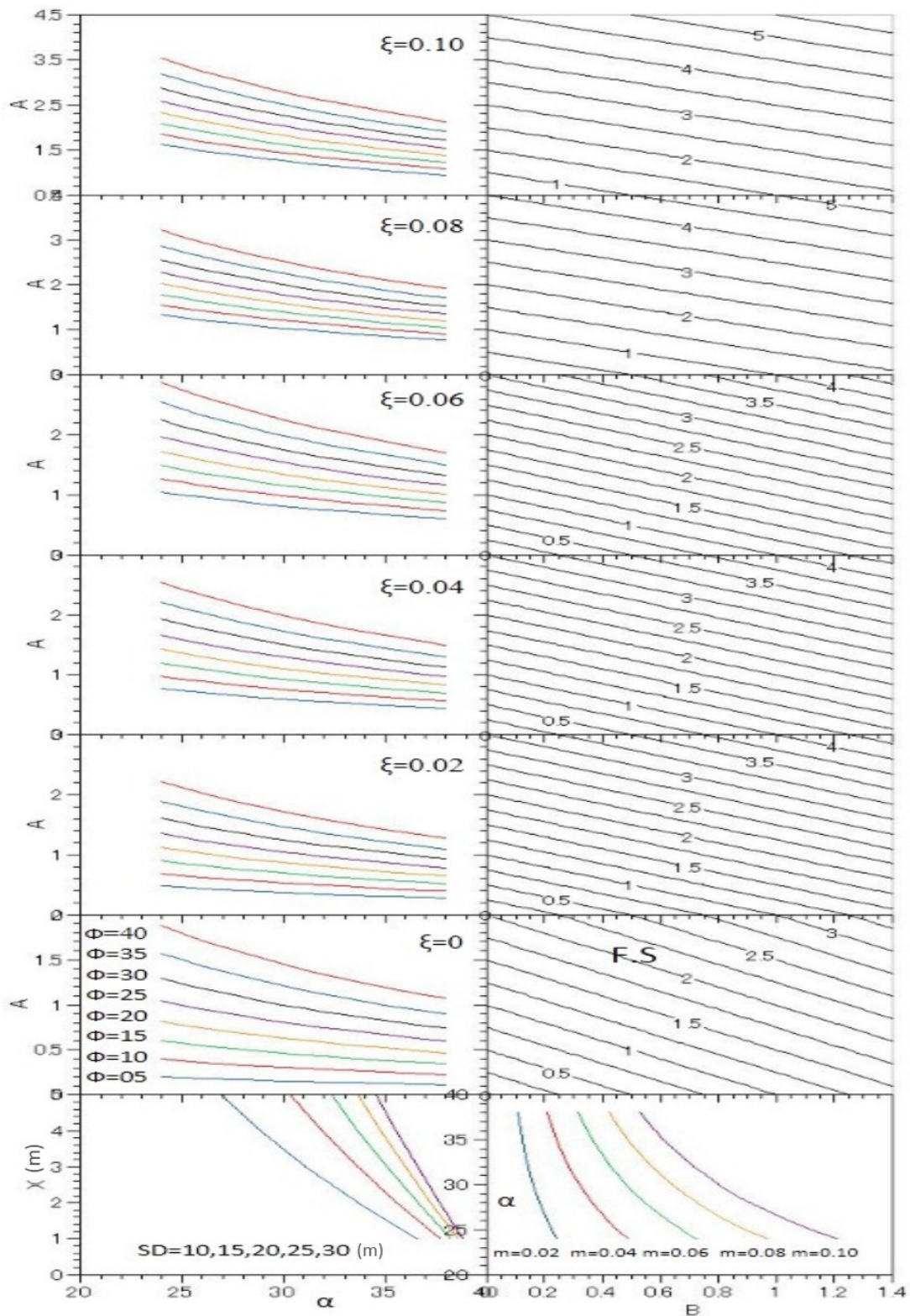
شکل ۷. نمودار طراحی برای  $r_u = ۰$  و  $\beta = ۳۰$

پژوهشنامه حمل و نقل، سال یازدهم، شماره چهارم، زمستان ۱۳۹۳



شکل ۸ نمودار طراحی برای  $r_u = 35$  و  $\beta = 0$

پژوهشنامه حمل و نقل، سال یازدهم، شماره چهارم، زمستان ۱۳۹۳



شکل ۹. نمودار طراحی برای  $r_u = 40$  و  $\beta = 40$

پژوهشنامه حمل و نقل، سال یازدهم، شماره چهارم، زمستان ۱۳۹۳

## ۷- مراحل استفاده از نمودار

در واقع وجود مقداری چسبندگی در خاک سبب افزایش ضربی اطمینان به مقدار قابل ملاحظه‌ای می‌شود.

علت این امر را می‌توان در افزایش قابل توجه نیروهای مقاوم بر روی سطوح لغزش در حالتی که خاک حاوی مقداری چسبندگی باشد، دانست. مزیت این نمودارهای این است که برای خاک با هر وزن مخصوصی قابل استفاده می‌باشد، همچنین اثر چسبندگی در نمودار در نظر گرفته شده است، در حالی که در نمودارهای Deep Patch ژوول و اشمترمن لحاظ نشده است.

## ۹- نتیجه‌گیری

- روش Deep Patch روشی مناسب برای پایدار کردن شبیه‌های خاکی که دچار نشت و ترک شده‌اند، می‌باشد.

- نمودارهای طراحی که در این تحقیق به دست آمده، جامع بوده و شامل زوایای اصطکاک متفاوت و چسبندگی نیز می‌باشد.

- در روش دقیق، به علت در نظر گرفتن اندرکش خاک و مسلح کننده، ضربی اطمینان بالاتری نسبت به روش‌های دیگر به دست آمد، بنابراین می‌توان گفت روش دقیق، اقتصادی‌تر است.

- افزایش شبیه خاکریز، سبب کاهش قابل توجه در مقدار ضربی اطمینان می‌شود. علت این امر افزایش نیروهای محرك ناشی از وزن در شبیه‌های تندتر است. همچنین با افزایش زاویه اصطکاک داخلی و چسبندگی که باعث افزایش مقاومت خاک می‌شوند، مقدار ضربی اطمینان افزایش می‌یابد. در واقع وجود مقداری چسبندگی در خاک سبب افزایش ضربی اطمینان به مقدار قابل ملاحظه‌ای می‌شود. علت این امر را می‌توان در افزایش قابل توجه نیروهای مقاوم بر روی سطوح لغزش در حالتی که خاک حاوی مقداری چسبندگی باشد، دانست. بدین لحاظ تعیین دقیق پارامترهای مقاومتی خاک، ضروری و مهم می‌باشد. مزیت این نمودارها این است که برای خاک با هر وزن مخصوصی قابل استفاده می‌باشد، همچنین اثر چسبندگی در نمودار در نظر گرفته شده است.

برای مقادیر معین شبیه و ارتفاع ( $\beta$ ، SD، X)، وزن مخصوص، چسبندگی و زاویه اصطکاک داخلی خاکریز ( $\phi, C, \square$ ) مراحل زیر برای به کارگیری نمودارهای طراحی باید به کار گرفته شود:

۱- با استفاده از نمودار مربوط به زاویه مورد نظر، مقدار زاویه  $\alpha$  براساس X، SD و  $\beta$  تعیین شود.

۲- مقدار پارامتر بدون بعد m براساس فرمول (۸) تعیین شود.

۳- براساس نمودار با استفاده از پارامتر m و  $\alpha$ ، مقدار B به دست می‌آید.

۴- آن‌گاه با انتخاب مقداری برای  $\gamma$ ، مقدار پارامتر A براساس مقدار زاویه اصطکاک داخلی خاک با استفاده از نمودار  $\gamma$  مورد نظر تعیین می‌شود.

۵- خطی که از مقدار پارامترهای A و B می‌گذرد را به هم وصل کرده، مقدار به دست آمده همان ضربی اطمینان مورد نظر است.

۶- اگر به ضربی اطمینان موردنظر رسیدیم، آن‌گاه با استفاده از فرمول زیر مقدار نیروی مجاز مسلح کننده به دست می‌آید.

$$T_{allow} = \zeta \times \gamma \times X \times (SD) \quad (13)$$

۷- اگر به ضربی اطمینان مورد نظر نرسیدیم، از نمودار به  $\gamma$  بیشتر استفاده می‌کنیم تا به F.S مطلوب برسیم.

## ۸- تجزیه و تحلیل

با دقت در نمودارهای ۶ تا ۹ مشاهده می‌شود که افزایش شبیه خاکریز، سبب کاهش قابل توجه در مقدار ضربی اطمینان می‌شود. علت این امر افزایش نیروهای محرك ناشی از وزن در شبیه‌های تندتر است. همچنین با افزایش زاویه اصطکاک داخلی و چسبندگی که باعث افزایش مقاومت خاک می‌شوند، مقدار ضربی اطمینان افزایش می‌یابد.

## ۱۰- پی‌نوشت‌ها

- Brand, E. W. (1985). Relationship between rainfall and landslides in Hong Kong.
- Rahardjo, H., Ong, T., Rezaur, R., Leong, C.E. (2007). "Factors controlling instability of homogeneous soil slopes under rainfall". Journal of Geotechnical and Geoenvironmental Engineering., No.70, pp. 1532-1543.
- Oztekin, B. and Topal, T. (2006). "Assessment of degradation and stability of a cut slope in limestone, Ankara-Turkey" Engineering geology. No.41, pp.12-30.
- Musser, S. W. and Denning, C. (2005) "Deep Patch Road Embankment Repair Application Guide." No.38.
- Duncan, J.M. and Wright, S.G. (2005), "Soil strength and slope stability". John Wiley & Sons.

1. Cut & Fill
2. Schmertmann
3. Jewell
4. Schneider and Holtz

## ۱۱- مراجع

- توفيق روحاني، م.ح.، (۱۳۸۲) "روش‌های پايدارسازی شيب‌های خاكى". دوره آموزشي تحليل و پايدارسازى شيب‌ها، مرکز تحقیقات مسکن، وزارت مسکن و شهرسازی جمهوری اسلامی ایران.
- شفابخش، غ.ع.، (۱۳۸۴) "تسليح خاکریز و بستر راه‌ها با استفاده از ژئوگرید،" پژوهشکده حمل و نقل، وزارت راه و ترابری جمهوری اسلامی ایران.
- Keller, G. and Sherar, J. (2003). Low- volume roads engineering: best management practice field guide. No.60.
- Chang, M., Chiu, Y., Lin, S. (2005). "Preliminary study on the 2003 slope failure in Woo-wan-chai Area, Mt. Ali Road, Taiwan." Engineering geology, No.69, pp. 93-114.